

КВАНТОВАЯ ЗАПУТАННОСТЬ и ФИЗИКА СОЗНАНИЯ

Авторы: Кутушов М.В. и Курилко П.И.

Часть 1:

Аннотация: Проведен качественный анализ управляющей функции ЭПИФИЗА, выполняющего роль квантового компьютера в работе высшего отдела ЦНС. Предложена модель связи внешнего Сознания через эпифиз с Сознанием человека. Проведена аналогия между делением изолецитального яйца и увеличением "ядер" персональных компьютеров. Эта аналогия ведет к непредсказуемым результатам в познании реальности...

ВВЕДЕНИЕ:

С конца прошлого века, необычайно популярным стало моделирование работы мозга. Все модели того времени были сведены к работе клеточных автоматов [27]. В "погоне" за дискретной математикой, была позабыта физика и анатомия памяти. И, главное – игнорировался моральный аспект познания. Индекс духовности (душевности) Человечеству, до сих пор, не введом.

В практических Приложениях, поиски силы интеллекта ограничились индексом IQ. Отдадим должное первопроходцам: ими был совершен прорыв в области новых компьютерных Технологий. Индекс же IQ, давая возможность сравнивать умственные способности разных людей, оставляет в стороне ряд принципиальных вопросов мышления, сознания и информации. • **ГЛАВНЫЙ** просчет большинства Ученых – в том, что **ДУХОВНОСТЬ** ХОМО САПИЕНС была объявлена (в науке) «персоной» NONGRATA и отнесена, исключительно, к компетенции Религии. Физике **ДУШИ** и **ДУХА**, в настоящей работе, будет уделено должное внимание. Но, забегаая вперед, укажем, что поиск места локализации **ДУШИ**, неизменно, приводит нас к ЭПИФИЗУ. А, пока, **МЫ** вернемся к проблеме информации вообще, «забыв» о ее духовной составляющей, именуемой тибетскими мудрецами «СИНЬСИН» [29]. Генеральная же Проблема состоит в том, что **НЕТ** ясности в том, где хранится долговременная и оперативная информация об организме и его окружении. Остается нерешенным и вопрос о физике носителя Информации в системе Управления (САУ).

• Авторы полагают, что роль Диспетчера и Хранителя информации ХОМО САПИЕНС играет, главным образом, шишковидная железа. То есть Вероятность найти душу именно в ЭПИФИЗЕ в нашей парадигме - имеет максимальное значение. Однако сформулировать гипотезу ЭТО – полдела. Нам Важно привести документальные свидетельства в пользу своей теории. В плане построения доказательной базы, необходимо найти физическое объяснение "сверхъестественным" свойствам ЭПИФИЗА. Таким, например, как способность последнего к ясновидению и предвидению. Нельзя обойти вниманием и тот факт, что математик прошлого, Рене Декарт, считал именно **ЭПИФИЗ** вместилищем души! Начнем свое исследование с толкования феномена «квантовой запутанности» состояний в ЭПИФИЗЕ. Той «запутанности», которая дала жизнь новому поколению квантовых компьютеров.

Справка: Мощность (быстродействие) современных ПК определяется числом т.н. ядер. С начала ЭРЫ ПК, наметилась тенденция сокращения времени, необходимого для удвоения числа ядер. На сегодняшний день число Ядер уже превысило магическое число $N=512$, и... компьютеры совершив качественный переход перешли в компьютеры использующие феномен "квантовой запутанности"... Стоит обратить внимание на тот факт, что и изолецитальное яйцо так же делиться до 512 деления и, затем деление клеток переходит как бы в хаотическое состояние, и зародыш превращается в тор! Аналогия налицо! • К магии числа N мы вернемся в разделе «Обсуждение Результатов». Но уже сейчас существуют ПК с $N \gg 512$ интеллект которых во миллионы раз превосходит "интеллект" всех ПК собранных вместе... Теперь пользуясь методом подобий попробуем найти точно такой же "прибор" в организме... Не вдаваясь в подробности поиска мы пришли к ЭПИФИЗУ. Шишковидная железа расположена в центре мозга и "напичкана" кристаллами и псевдо кристаллами, которые способны выполнять роль "деталей" квантовых компьютеров, при этом используя простой природный механизм под названием квантовая запутанность. Располагаясь в центре сферы "черепной коробки" (резонатора) эпифиз имеет связь со всеми центрами и отделами головного мозга! Именно поэтому тибетские врачи утверждают- мыслительные способности человека зависят от количества воды и формы(!!!) черепа. Эпифиз функционирует наподобие источника излучения наподобие силовых линий электростатического поля в стеклянном шаре. В эпифизе прошлое, настоящее и будущее существуют одновременно! Этот "хард диск" в момент воспоминаний соединяет нейроны и все центры в "кластеры", после выполнения задачи эти кластеры "распадаются"! Именно этим моментом и определяется способность человека мгновенно вспомнить прошлые события или принять мгновенное решение в реальном времени! Также этот "компьютер" имеет способность предвидеть будущие события, потому, что имеет связь с внешним Сознанием... По "совместительству", ОНА (железа) есть приемно-передающая АНТЕННА, в спектре поглощения -излучения которой присутствуют все собственные частоты САУ. Явление перекрытия частот АНТЕННЫ вследствие этого создает неопределенность во времени, когда понятия «прошлое» и «будущее» не разделимы.

Повторим ту же мысль на языке физики.

В первом приближении, любая линия поглощения ЭПИФИЗА есть **Л**иния нулевой ширины. Во втором приближении, эта же линия будет занимать узкую, сплошную полосу частот, распределенных в диапазоне $f[1], f[2]$. И тогда, при большой плотности линий спектра, понятие «время» и «расстояние» потребует пересмотра с позиций квантовой физики. Не углубляясь в дебри теории вероятности (случайных функций), попробуем обойтись матричным исчислением.

Каждой точке **3-х**-мерного пространства прямоугольных координат (x, y, z) , волновому вектору k , можно поставить в соответствие скалярную величину, то есть - круговую частоту ω :

$$\omega = V_0 \bullet k(x, y, z), (1)$$

V_0 – постоянная Величина, имеющая Размерность m/sec ; $[k] = 1/m$.

При поглощении ВОЛНЫ в Вакууме, без учета границ Пространства, занимаемого ЭПИФИЗОМ, спектр поглощения последнего будет представлен сплошной (гладкой) линией. С учетом конечных размеров черепной коробки, спектр оказывается линейчатым.

В области малых волновых чисел, расстояние между спектральными линиями оказывается настолько большим, что резонансные частоты легко поддаются дифференциации. По мере же увеличения волнового числа k и - повышения частоты до оптического диапазона, резонансные линии конечной толщины накладываются друг на друга. В оптике, радиофизике и физике Плазмы [1], ЭФФЕКТ наложения **2-х**, и более, частот получил название «перемешивание фаз», сокращение – **ПФ**. Такое название обусловлено тем, что – в системе Лагранжа, движущейся вместе с изображающей частицей [12] - произведение частоты ω на время t , фаза автоколебания $\Phi = \omega \cdot t$, становится беспорядочной ф-й t . То есть изображающая частица, (квант Сознания, точка Сборки) в пр-ве из **2-х, и большего, числа** дискретных частот, совершает беспорядочные скачки по фазе! По сути, перекрытие фаз, сокращение **-ПФ** и **КВЗ**, есть два названия одного явления.

Любой точке **4-х**-мерного Пространства Состояний (три координаты + время) мы можем приписать свою частоту. Следовательно, каждая точка мозга человека имеет свое собственное частотное измерение. • Если смоделировать МОЗГ в форме куба, **то** мы получим **3-х**-мерную, кубическую, матрицу частот! • Но нам ничто не мешает построить Матрицу со сферической симметрией. В предыдущей работе [27], авторы рассмотрели модель мозга в виде идеальной сферы (шара). И данная МОДЕЛЬ положила начало физической концепции человеческой души, которая рассматривается в настоящей работе. Обсудим сначала роль геометрического фактора в функционировании эпифиза и мозга.

ШАР и КУБ относятся к ВЫСШИМ кристаллическим СИНГОНИЯМ. В организме же все основные "укладки" относятся к средним и низшим сингониям! И только эпифиз, череп и рак подчиняются высшим сингониям! [23]. Основным детерминатором всех процессов в ГПК является явление анизотропии! В высших сингониях, этот закон практически не работает! В таких структурах все симметричное и изотропное (спутанное)... однако энергии и информации в таких системах огромное количество! Стало быть общий принцип "работы" эпифиза, мозга и раковой опухоли в чем то подобны! Наша задача найти эти общие механизмы и применить их в сохранении здоровья. Состояние же ЗДОРОВЬЯ любого человека зависит, как известно, от интегрального показателя ДИС симметрии, свойственного только живому организму. Снова вернемся в физику процессов...

В качестве будущей модели резонатора (**САУ**), в решении точной краевой Задачи, предлагается использовать ЭЛЛИПСОИД вращения, в котором отношение длин **2-х** полуосей близко к единице. Существуют ДВА метода построения картины ЭМГ Поля головного мозга. Первый - метод решения краевой Задачи Неймана - мы обсуждать не станем. Более перспективным является метод функции Шредингера, требующий базовой подготовки Читателя в квантовой физике. Камнем же преткновения к физической интерпретации решений уравнения ШРЕДИНГЕРА является, уже знакомая нам, квантовая запутанность. Заметим, что - в усл-х **КВЗ** – единственной координатой частицы является плотность вероятности нахождения ее в заданной точке **4-х**-мерного пространства состояний. •ПРИМ: *Волна Де-Бройля есть волна плотности Вероятности фазовой частицы находится в заданной точке пр-ва Состояний.* • По официальной Статистике, только одна миллионная доля процента населения Земли

имеет четкое представление о квантовой физике. Поэтому нам придется вернуться к теме квантовой запутанности еще раз.

Итак, перемешивание фаз [1, 2], для следящей системы (ЭПИФИЗА), читай – для человека во сне, равнозначно «путешествию» последнего во времени. В следующем разделе, мы поразмыслим о том, как можно организовать бесперебойную работу организма (САУ), внося – через ЭПИФИЗ [7] - изменения в программу нашего «персонального» квантового компьютера.

Перепишем (1) в матричной форме:

$$\omega[i, j, k] = V_0 \bullet k(i, j, k) \quad (2)$$

ЗАМ: Индексы (i, j, k) соответствуют, напоминаем, узлам сферы Пуанкаре [16], сопряженной с шишковидной железой. В правой части (2), стоит скалярное произведение **2-х** векторов. Исходя из непрерывности и замкнутости вихревой траектории частицы, можно построить вектор скоростей ее движения, подобный изображенной на РИС.1. Смотри раздел «АППЕНДИКС», стр.6. Двумерные живые фракталы [30] являются проекциями 3-х-Траектории частицы на плоскость чертежа. •Но, спросим себя, что же является движущей силой, побуждающей частицу ускоряться и излучать? ЗАМ: Говоря об излучении, мы имеем в виду феномен светимости эпифиза.

Из наличия фазового синхронизма [24] вытекает существование некоторого стороннего источника излучения – сходящейся сферической Волны, движущейся с групповой Скоростью $V^* = D\omega/Dk$, направленной вдоль градиента Силы тяготения. (Смотри АППЕНДИКС, рис.2) и постоянным вектором фазовой скорости V_0 ! (В геостационарной Системе сферических координат, вектор V_0 ортогонален направлению вектора гравитации).

Не трудно догадаться, что глобальным «ИСТОЧНИКОМ» излучения и Хранителем всей Информации является Торсионное Поле Земной коры [3], имеющее космическое происхождение. Точнее - сферическая сходящаяся Волна кручения, вихревое ЗМГ Поле Земли. • ЭНЕРГИЮ Торсионного поля Древние тибетцы издавна называют «ПРАНА». Или, что – то же самое - ЭНЕРГИЯ ЦИ [4]. На основе известных положений классической теории колебаний и волн, путем простых рассуждений, мы доказываем существование Земного Поля вращения и, попутно, даем научное определение ЭНЕРГИИ «ЦИ». • **Наш первый результат заключается в измерении модуля вектора линейной скорости изображающей частицы, универсальной постоянной V_0 :**

$$V_0 = \omega/k.$$

Часть 2: ДЕБИФУРКАЦИЯ ЧАСТОТ ЭПИФИЗА.

Представленная ниже, таблица частот **ДЕ-БИФУРКАЦИИ** есть удобный инструмент для коррекции, когда ЗТО необходимо, управляющей функции шишковидной железы. В **БРЗ** Терапии д-ра КУТУШОВА [30] с помощью **ДСТ** препаратов «**СУ-ДЖОК**» терапии и

стороннего генератора (МЕАНДРОН КУТУШОВА), уже делаются попытки перепрограммировать ЭПИФИЗ, действуя на одну из его собственных частот. В свете поставленной Задачи, требуется знать весь Спектр частот матрицы, находящейся под контролем и управлением ЭПИФИЗА. ВСТАВКА: Все, без исключения, частоты информационной Матрицы, будучи функциями индекса ДИССИММЕТРИИ, несколько отличаются от табличных, см. ТАБЛ.1. И дело – не только в индивидуальных различиях показателей ДИС-симметрии. • Определенную роль играет и форма черепа человека. Реальный череп человека отличается от Сферы. Коэффициент же формы будет давать некую поправку в дисперсию частот.

Метод построения Спектра известен [18]. И нам остается здесь лишь правильно расставить акценты. Частотный спектр сферического резонатора [27] представляет собой бесконечный ряд, см. ТАБЛ.1, который начинается со сверхнизкой частоты вращения Земли вокруг Солнца и продолжается за пределы частот оптического диапазона. Забегая вперед, укажем – все **14** частот Таблицы 1 есть фиксированные Характеристики торсионного Поля Земной коры [3]! И эти частоты заданы на сетках ВИТМАНА-КАРРИ – ХАРТМАНА. Так, например, **2-я** МОДА представлена Стоячими Волнами, наблюдаемыми в верхних слоях Земной атмосферы – волнами Шумана.

J	Собственная Частота f[j], герц	АВТОКОЛЕБАНИЯ ЭПИФИЗА и СФЕРЫ головного мозга, отвечающие индексу J:
1	1.25	МАТ ОЖИДАНИЕ ЧАСТОТЫ ПУЛЬСА
2	25. 0	3-я Гармоника Ритма «альфа»
3	500	Мат Ожидание (усредненное значение) 2-й гармоники частоты ритма «бета»!
4	10000	Частота колебаний одиночного нейрона
...	*****	*****
9	2•1000000000	2-я гармоника резонанса молекулы H ₂ O
...	*****	*****
14	5•e15	Свечение голубого Лазера
15

ТАБЛИЦА 1: ЧАСТОТЫ ЭПИФИЗА.

Комментарий 1:

В первых строках таблицы **1** представлены 4 первые частоты малого и среднего диапазона: **J=1...4**. **ДАЛЕЕ** - резонансная частота молекулы воды, **J=9**, и – частота f(14), соответствующая голубому свечению лазера. В дальнейшем, разделив все частоты на **1** гц, Мы будем оперировать с безразмерными величинами, каждая из которых приобретает особый нумерологический и философский смысл. Так, например, введя небольшую коррекцию частоты f[1] и полагая a=2.11, мы приходим к целому числу **N ≈ 512**, которое может быть представлено в виде $N = q \cdot a^a$, где q=20.

Здесь q - отношение площади поверхности сферы Пуанкаре, выложенной додекаэдрами с длиной ребра **a**. Напомним, что **5-ти-гранники** есть единственный строительный материал, позволяющий сделать приближение круглой сферы плоскими многоугольниками без прорех [16]!

В скобках заметим, что – согласно оптическим измерениям - свечение ЭПИФИЗА моделируется частотой ритма Сердца. Указанная модуляция говорит о том, что ЭПИФИЗ контролирует весь частотный диапазон мозга. Диапазон частот, перекрывающий более чем 15 порядков величины f . Здесь «все - как говорят - схвачено». Однако далеко НЕ ВСЕ частоты **САУ** зависят от времени. Имеют «место быть», инварианты, которые являются стационарными реперными частотами в физическом Пространстве Состояний. • Последние частоты удобно сравнить со станциями пересадок на пути следования поезда из пункта «**А**» в пункт «**В**». Именно такие инварианты представлены выше в Таблице 1. Ниже Мы приступаем к обсуждению Иерархии частот.

ПРИЛОЖЕНИЕ к ОНКОЛОГИИ:

Реперные Частоты ТАБЛИЦЫ 1 не исключают существования комбинационных частот, обусловленных вращением вектора поляризации. Речь идет о линейных комбинациях типа:

$$\Omega[n] = f[j+1] - n \cdot f[j], \text{ где } n = 1, 2, \dots, K. \quad (3.1)$$

Полагая $n=2$, для первой пары базисных частот $J=1$, получаем частоту раковых клеток:

$$\Omega(2) = 22.5 \text{ гц.}$$

Обобщим (3), допуская существование пары квантовых чисел (n, m) , определяющих тип симметрии кристаллической решетки ГПК. Пусть

$$\Omega[m, n] = m \cdot f[j+1] - n \cdot f[j], \text{ где } n, m = 1, 2, \dots, K. \quad (3.2)$$

Для следующей пары частот $J=2$, полагая в (3.2) $m=4$ и $n=6$, мы приходим к комбинационной частоте, достаточно близкой к частоте предракового состояния пациента $f = 85.4 \text{ Hz}$:

$$\Omega(4, 6) = 85 \text{ гц.}$$

Физический смысл целых положительных чисел (m, n) мы обсудим в разделе «АППЕНДИКС».

Каждое число из Ряда вещественных чисел, стоящее в строке с номером j , рассчитывается путем умножения предыдущего значения частоты $f(j-1)$ на показатель прогрессии $q = 20$:

$$f[j+1] = 20 \cdot f[j].$$

Показатель же прогрессии q есть натуральное *целое* число, получаемое посредством **4-х**-кратного умножения, самого на себя, иррационального вещественного числа $a = 2.11\dots$:

$$q = a \bullet a \bullet a \bullet a.$$

Умножение частоты ровно вдвое есть феномен, известный - в СИНЕРГЕТИКЕ - как обратная бифуркация удвоения периода [20]. *Естественно, возникает законный вопрос о происхождении дробной части показателя a . Можно показать, что дробная добавка Δ к основанию степенной функции ($\Delta = a - 2$) обусловлена наличием – в организме человека – диссипативной хаотизации торсионного Поля Земной коры, приводящей к Анизотропии (ДИС-симметрии)! Др. словами, величина $\Delta(x)$ есть локальная характеристика САУ, зависящая от индекса ДИС симметрии x , присущая определенному уровню организации последней. В принципе, поправка $\Delta(x)$ имеет «право» варьировать при переходе с одного «квантового» уровня ЭПИФИЗА (ЦНС) на другой.

В первом приближении, считается, что параметр Δ есть интегральный показатель ДИС симметрии, общий для всех «квантовых» уровней САУ, [17]. А мы-то хорошо знаем, что процесс симметризации органа приводит, в конечном итоге, к смерти человека [18]... И это понятно, с точки зрения формальной логики: Отсутствие отклика, на Торсионное поле Земли или Космоса (читай –разрыв связи Души с «ДУХОМ Святым») возможно лишь для неживого, бездыханного Субъекта!

Самый простой способ изучения пространства состояний «САУ» есть метод точечных отображений Пуанкаре [22]. Он же – метод ФРАКТАЛЛОГРАМ. Однако существуют и другие, более привычные, подходы. Одним из традиционных, хотя и трудоемких методов, является построение матрицы частот и карты поля векторного Потенциала. Здесь мы вкратце изложим суть метода матриц.

К МЕТОДУ ПОСТРОЕНИЯ МАТРИЦЫ_ $\Omega[i, j, k]$:

Числа, представленные в Таблице 1, есть мат ожидания Индивидуальных частот условно здорового человека, зависящие от переменных координат x^*, y^*, z^* . Имеется в виду, что индивидуальные значения $f[j]$ будут иметь ИХ вариативные отклонения от мат. Ожиданий. Считается, что МАТ ожидание вариации частоты с номером J , ее ДИСПЕРСИЯ, есть показатель ДИС симметрии x . Принято считать, что - в первом приближении – все локальные вариации x одинаковы! Для создания новой диагностики и новых методов лечения болезней, нам остается найти распределение частот по узловым точкам сферической Сетки опорных значений. Легко догадаться, что плотность узловых точек на сетке сфероида будет быстро возрастать по мере приближения «радиус – вектора» точки сканирования r к геометрическому центру Сферы. В целом, распространение информационного Сигнала (мысленного образа) по нейронной сети головного мозга можно сравнить с мерцанием сотни лампочек, развешанных на Новогодней праздничной елке. Заметим, что лампочки, как и Узлы сферической сетки, о которой речь пойдет ниже, никуда НЕ двигаются!!!

МЕТОД ОТЫСКАНИЯ вектора частот $\Omega(x^*, y^*, z^*)$, метод сеток, состоит в разбиении большой Сферы на несколько вложенных сфер. • Решение системы граничных условий на поверхностях смежных оболочек дает нам индивидуальную матрицу чисел $\Omega[i, J, K]$, зависящих от интегрального показателя ДИС симметрии.

• КВЗ в ОНКОЛОГИИ •

Из таблицы базисных частот Организма (таблица 1) особого внимания заслуживает мода $J=2$, соответствующая 3-й гармонике ритма «АЛЬФА»: $f(2)=25.4$ Hz. Известно, что смещение частоты влево на 4% (в отн. ед.) дает нам резонанс абсолютно здорового человека: $f(1)=25.2$ Hz. В чем тут дело? Спектр амплитудно-частотной характеристики АЧХ ритма «АЛЬФА», как и всех остальных биоритмов, дискретен. Последнее вытекает из фрактальности САУ. У здорового человека индекс ДИС симметрии x настолько высок, что изображающая частица не в состоянии преодолеть квантовый барьер $x = f(2)-2 \cdot f(1)$, разделяющий два, в известном смысле, «близкие» состояния равновесия (СМЕРТЬ • ЖИЗНЬ). Когда ЖЕ показатель диссимметрии (x) снижается ниже нулевой отметки, движение частицы становится неустойчивым. Изменив направление вращения с левого на правостороннее, частица переходит на новый квантовый уровень, соответствующий комбинационной частоте $f=22.4$ гц. Эта частота свойственна высшим сингониям и соответствует раковой патологии.

АППЕНДИКС:

В разработке компьютерной модели матрицы собственных частот для антенно-передающего Устройства в виде Сферы, заполненной «ГПК», возникает вопрос о наиболее оптимальном приближении сферической поверхности многогранниками. Благодаря трудам Анри Пуанкаре, известно, что существует единственный способ покрытия сферы многогранниками без, так называемых, прорех или пустот. Для приближения Сферической поверхности многогранниками, оказывается, мы повторяем, идеально подходит пентаэдр! •Справка: Сферическая поверхность, составленная из правильных многогранников с 5-ю вершинами, называется сферой Пуанкаре [16]. Кстати сказать, отношение площади поверхности сферы Пуанкаре радиуса a ($S=4\pi \cdot a \cdot a$) к площади 1-й грани куба с длиной ребра a есть $q=20$. И вот, что – любопытно : именно целое число q стало знаменателем той геометрической прогрессии, по которому строится Ряд (матрица) собственных, реперных частот сферического Резонатора. Протеины формируются также с помощью 20 основных аминокислот... Эти положения подсказывают нам, что в низших и средних сингониях рак "жить" не может! Это подтверждается тем, что при воздействии на эпифиз с помощью капель, меандрона и медитации (молитв) скорость излечения о рака возрастает на порядки!

К выше сказанному, добавим, что именно 5-й ось симметрии является основой всего живого на Земле [18]. Ведь, только с помощью множества икосаэдров малой площадью граней и малой высоты ($h=a/N$, $N \gg 1$), «насаженных» на радиальные оси симметрии, мы можем построить сетку узлов, неравномерно распределенных по объему сфероида! Видимо, форма идеальной СФЕРЫ диктует ЭПИФИЗУ выбирать в качестве строительного «материала» для ГПК кристаллы с 5-й осью симметрии [30].

КРИСТАЛЛОГРАФИЯ РАКА

$$(4) \Omega[m, n] = m \cdot f[j+1] - n \cdot f[j], \text{ где } n, m = 1, 2, \dots, K.$$

Заметим, что - в реальной САУ и ее фрактальной модели - сосуществуют не менее 2-х кристаллических сингоний. Две максимума плотности распределения изображающей частицы (САУ) можно считать наиболее вероятными положениями последней в пространстве конфигураций. •Предположим, что квантовые числа связаны с типом симметрии $G[k]$ соотношениями:

$$G[k] = k-1.$$

К примеру, для $k=1$, мы будем иметь высшую сферическую Сингонию $G=0$. Для $k=2$, у кристалла появляется 1 ось симметрии. Предполагая, что – в конкуренции из 2-х мод – всегда выживает та, которая имеет высший тип симметрии, мы получаем систему с $G=0$.

Но кристаллы сферической и кубической формы - есть раковые кристаллы. То есть у Рака, в данном случае, не останется конкурентов, готовых «побороться» с ПАРАЗИТОМ за Жизнь своего Хозяина. Вот так объясняется раковая частота 22.5 гц. Аналогичные рассуждения можно провести и для предракового состояния, где у Организма еще имеется «путь Спасения».

ДОПОЛНИТЕЛЬНЫЕ ИЛЛЮСТРАЦИИ

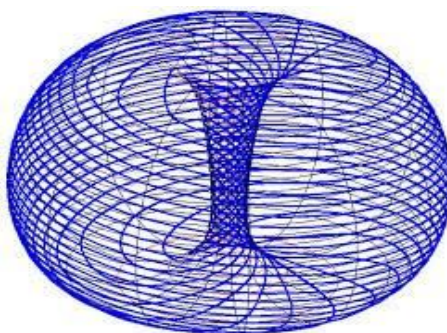


Рис.1: Траектория Сателлита шишковидной железы.

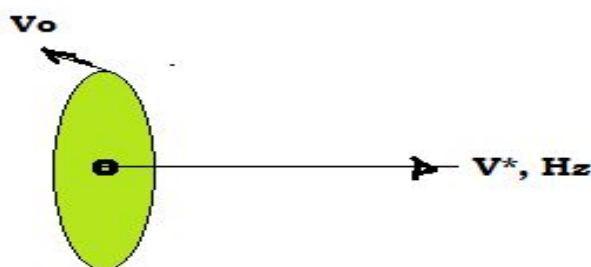


Рис.2: Групповая V^* и фазовая скорость V_0 заряда Сателлита

ФИЗИКА МОЛИТВЫ

В режиме излучения мыслеформы вовне (МОЛИТВА), азимутальный ток воронки РИС.1, созданный сателлитом ЭП, генерирует продольное магнитное поле Hz, являющееся источником быстрой Волны ИНФОРМ Сигнала ЭМГ Волны. Мысленный ОБРАЗ (медленная Волна Эпифиза) модулирует амплитуду продольной волны V^* , восходящей на Небеса. В режиме работы ЗП в качестве принимающей антенны, происходит обратный ПРОЦЕСС нелинейной Трансформации ЭНЕРГИИ ДУХА (из НООСФЕРЫ - через ЭПИФИЗ) - в автоколебания потенциала жидкокристаллической плазмы ГПК.

●ПРИМ: В теории колебаний и волн, поведение Гамильтоновых Систем удобно анализировать в переменных «Действие – Угол», см. [28]. ●Комм: Здесь «УГОЛ» есть

фаза изображающая состояние частицы во времени и пространстве, а действие – Сила Ньютона, с которой Сила действует на частицу.

Резюмируем содержание раздела «АППЕНДИКС»: В режиме работы ЭПИФИЗА, как принимающей антенны Системы Управления, ЭНЕРГИЯ быстрой магнитозвуковой Волны Т-поля ($H \downarrow Hg$) преобразуется в энергию медленных плазменных колебаний протеинового Комплекса, ГПК. В заключении добавим: ЭПИФИЗ и ДУХ образуют пару, связанных друг с другом Объектов, в чем-то подобных популярной (в Японии) детской игрушке «Ямагучи Гуми».

К ОБСУЖДЕНИЮ РЕЗУЛЬТАТА.

В порядке обсуждения, приведем еще один пример универсальности числа N , см комментарии к Табл.1. Из учебников по ЭМБРИОЛОГИИ, мы узнаем, что – начиная с момента зачатия – ЯЙЦО будущего зародыша начинает делиться пополам. Для изолецитального яйца, такое деление (бифуркация деления пополам) происходит 7 раз к ряду. В итоге, число клеток возрастает до $N = 512$. С этого момента, вступает в силу закон перехода количества в качество. На физическом плане, кардинально меняется фазовый портрет Системы Управления (САУ). Ее сферическая форма превращается в ТОР. Очевидно, Инвариантному тору в пространстве Декарта должен соответствовать «СОЛЕНОИД СМЕЙЛА» в пространстве импульсов и частот!

Спросим себя – при чем здесь СОЛЕНОИД (ТОР)? Дело, оказывается - в том, что ТОР (рис.1) создает диаграмму направленности антенны, благоприятную для устойчивой связи ЭПИФИЗА с Мировым Пространством!...

Таким образом, система (Додекаэдр-икосаэдр + псевдокристаллы), состоящая из одиночных клеток, превращается в Зародыш, который – наподобие квантового компьютера (ПК) - начинает жить по новым «правилам». Данный пример подтверждает общенаучную ценность теории единства самоорганизации живой и неживой природы и универсальной ТАБЛИЦЫ частот САУ, представляющей один из главных результатов настоящей работы.

REFERENCES:

[1]. П.КУРИЛКО, ДИСПЕРСИЯ НИЗКОЧАСТОТНЫХ ВОЛН в ЗАМАГНИЧЕННОЙ ПЛАЗМЕ ГАЗОВОГО РАЗРЯДА, Материалы канд. Диссертации, 1990;

[2]. Tataronis J.A., GROSSMAN, «ON ALFVEN WAVE HEATING and TIMEMAGNETIC PUMPING in the GIDING CENTRED MODEL of PLASMA», NUCLEAR FUSION, 1976, v/16, p.667-678;

[3]. Г.И. ШИПОВ, ТЕОРИЯ ФИЗИЧЕСКОГО ВАКУУМА в ПОПУЛЯРНОМ ИЗЛОЖЕНИИ (Гипотеза о Торсионном Поле Земли): http://wame.su/base/science/torsion_fields/, 2012;

[4]. ВИКИПЕДИЯ, ЭНЕРГИЯ ЦИ (ЭНЕРГИЯ ЗФИРА): <https://ru.wikipedia.org/wiki/Ци>;

[5]. КВАНТОВАЯ ЗАПУТАННОСТЬ (ПФ), <https://hi-news.ru/tag/kvantovaya-zaputannos/>;

[6]. ПЕРЕДАЧА ИНФОРМАЦИИ МЕТОДОМ КВЗ, <https://forum.ixbt.com/topic.cgi?id=64:3002>, 2014;

- [7]. [Шишковидное тело — Википедия](https://ru.wikipedia.org/wiki/Шишковидное_тело)
https://ru.wikipedia.org/wiki/Шишковидное_тело;
- [8]. Переменные ЛАГРАНЖА-ЭЙЛЕРА, <https://ru.wikipedia.org/wiki/2017>;
- [9]. https://studopedia.su/12_1683_chastotnaya-i-fazovaya-sinhronizatsiya.html, 2018;
- [10]. [Волновое число - laser-portal.ru](http://laser-portal.ru), 2018;
- [11]. https://ru.wikipedia.org/wiki/Квантовый_компьютер;
- [13] М.МИХАЙЛОВ, Изображающая частица, [Лекции по классической механике](https://books.google.com.ua/books?isbn=5041073155),
<https://books.google.com.ua/books?isbn=5041073155>, 2018;
- [14]. ТЕОРИЯ ЭФИРА: Луи ДЕ-Бройль, Теория ВОЛНЫ - «ПИЛОТА» , 1927 год;
- [15]. Денеш ГАБОР, голография: <https://ru.wikipedia.org/wiki/Голография>, 1947;
- [16] СФЕРА ПУАНКАРЕ, https://uk.wikipedia.org/wiki/Сфера_Пуанкаре, 2018;
- [17]. П. Курилко, Метод построения фрактала, арх. Файл: F:\NATAN\ Spirt -237;
- [18]. М.Кутушов, www.kutushov.ru, 2016;
- [19]. Хакен, Теория Самоорганизации:
<http://spkurdyumov.ru/what/koncepciya-samoorganizacii-sinergetikaobshhie-polozheniya/>, 2018;
- [20]. Бифуркации Удвоения периода, см. http://sci.sernam.ru/book_chaos.php?id=97, 2018;
- [21]. www.kolesha.ru, секреты шишковидной железы, 2018.
- [22]. https://ru.wikipedia.org/wiki/Отображение_Пуанкаре, 15.08.18;
- [23]. «ФОРМА ГПК-213», Зависимость Формы КР-ла от КД, Посл. Обращение 15.08.18;
- [24]. ФАЗОВЫЙ СИНХРОНИЗМ, [http:// femto.com.ua/articles/part_2/4272.html](http://femto.com.ua/articles/part_2/4272.html), 2018;
- [25]. В.Л. Гинзбург, «НЕЛИНЕЙНАЯ ТРАНСФОРМАЦИЯ ВОЛН в ПЛАЗМЕ», http://femto.com.ua/articles/part_2/4142.html, 1986;
- [26]. П.Курилко, М.Кутушов, «Сновидения-31» (автоссылка): Физика молитвы, сила Духа:
<https://drive.google.com/file/d/1HYqUGrMF4dCStLhWfE0mLbG7GzwqTrAU/view?usp=sharing>,
2018;
- [27]. Зиберт, ЧАСТОТА ЗАРЯЖЕННОГО СФЕРИЧЕСКОГО РЕЗОНАТОРА, Google-ДИСК:
<https://drive.google.com/file/d/1mb8pmoeWsWO3hzUDx8zBZj8KdVj53VXQ/view?usp=>, 2018;
- [28] . А.Ю.Лоскутов, А.С.Михайлов, «ВВЕДЕНИЕ в СИНЕРГЕТИКУ»: Мозг и Компьютер, гл.3, стр. 180, 1990 год;
- [29]. Михаил Кутушов, ПРИРОДА РАКА и РАННЯЯ ДИАГНОСТИКА: Духовность=Синьсин, гл.2, стр. 32, В.Секачев, Москва, 2011;

[30] М.Кутушов, «Учебник Нелинейной медицины», стр.43, 2013.

19.08.2018